Neue metallorganisch substituierte Bismut-Chalkogen-Verbindungen mit Mo_2BiE -Gerüst (E = S, Se)

New Organometallic Bismuth Chalcogen Compounds with Mo₂BiE Framework (E = S, Se)

Kurt Merzweiler* und Ludwig Brands

Institut für Anorganische Chemie, Engesserstraße, Geb.-Nr. 30.45, D-W-7500 Karlsruhe

Z. Naturforsch. 47b, 978-982 (1992); eingegangen am 23. Dezember 1991

Bismuth, Chalcogen, Molybdenum, X-Ray

[{Cp(CO)₃Mo}₂BiCl] 1 reacts with silylated chalcogens E(SiMe₃)₂ (E = S, Se) to give the compounds [{Cp(CO)₂Mo}₂EBiCl] (E = Se 2, S 3). The structures of 2 and 3 were determined by X-ray crystallography. In the solid state two [{Cp(CO)₂Mo}₂EBiCl] units are linked by two Bi-Cl-Bi bridges to form the dimer [{Cp(CO)₂Mo}₂EBiCl]₂ with a planar Bi₂Cl₂ ring. The [{Cp(CO)₂Mo}₂EBiCl] units contain distorted Mo₂BiE tetrahedra.

Einleitung

Metallorganisch substituierte Hauptgruppenelement-Halogenide können mit silylierten Chalkogenen $E(SiMe_3)_2$ (E=S, Se, Te) zu Verbindungen reagieren, die Element-Chalkogen-Ringe oder -Käfige enthalten. Beispiele dafür sind [$\{Cp(CO)_2Fe\}_4Sn_4Se_6$] [1], $[Cp_4(Ph_3P)_3Ni_5Sn_6Se_9]$ [2], $[Fc_3B_3Se_3]$ (Fc: Ferrocenyl) [3] und [$\{Cp(CO)_2Fe\}_4In_4S_4$][4].

Wir interessierten uns nun dafür, ob sich dieses Syntheseprinzip auch auf Bismut-Verbindungen übertragen läßt. Als Modellreaktion wählten wir dazu die Umsetzung von [$\{Cp(CO)_3Mo\}_2BiCl\}$ 1 mit $E(SiMe_3)_2$ (E = S, Se).

Ergebnisse und Diskussion

Gibt man zu einer tiefgrünen Lösung von [{Cp(CO)₃Mo}₂BiCl] 1 in THF bei Raumtemperatur Bis(trimethylsilyl)selenan, so beobachtet man nach wenigen Minuten einen Farbwechsel nach rotbraun. Daneben entsteht ein schwarzer Niederschlag. Aus dem Reaktionsfiltrat erhält man nach Abkondensieren des Lösungsmittels und Umkristallisieren des Rückstandes aus THF/CH₂Cl₂ (1:1) schwarze Kristalle, die aus [{Cp(CO)₂Mo}₂SeBiCl] 2 bestehen. In entsprechender Weise entsteht aus 1 und S(SiMe₃)₂ das Schwefel-Analogon [{Cp(CO)₂Mo}₂SBiCl}] 3. In beiden Fällen bildet sich [{Cp(CO)₃Mo}₂] als Nebenprodukt. Die Syn-

$$[\{Cp(CO)_3Mo\}_2BiCl] \xrightarrow{E(SiMe_3)_2 E = S, Se}$$

$$[\{Cp(CO)_2Mo\}_2EBiCl]$$

$$E = Se, 2$$

$$E = S, 3$$

Zur Klärung des molekularen Aufbaus von 2 und 3 fertigten wir Röntgenstrukturanalysen an. Die Daten zu den Kristallstrukturanalysen sind in Tab. I zusammengefaßt. Die Tab. II und III enthalten die wichtigsten Bindungsparameter von 2 und 3. In den Tab. V und VI sind die Lageparameter und äquivalenten isotropen Temperaturfaktoren aufgelistet.

2 und 3 besitzen einen sehr ähnlichen strukturellen Aufbau, der in Abb. 1 stellvertretend für das Selenderivat 2 gezeigt ist.

Danach bestehen **2** und **3** aus dimeren $[\{Cp(CO)_2Mo\}_2EBiCl]_2$ -Einheiten, die sich aus der Verknüpfung zweier $[\{Cp(CO)_2Mo\}_2EBiCl]$ -Moleküle über zwei Bi-Cl-Bi-Brücken ergeben. In den $[\{Cp(CO)_2Mo\}_2EBiCl]$ -Fragmenten bilden die Atome Mo 1, Mo 2, Bi 1 und Se 1 (bzw. S 1) ein verzerrtes Tetraeder, wobei jedes der Molybdänatome zusätzlich von einem η^5 -Cp-Ring und zwei terminalen CO-Gruppen koordiniert wird. Die Bismutatome sind gleichzeitig Bestandteile eines planaren Bi $_2$ Cl $_2$ -Ringes im Zentrum des Dimeren.

Verlag der Zeitschrift für Naturforschung, D-W-7400 Tübingen 0932-0776/92/0700-0978/\$ 01.00/0

these von 2 und 3 ist überraschend, da eigentlich die Spaltung der Bi-Cl-Bindung in 1 durch E(SiMe₃)₂ erwartet wurde. Tatsächlich bleibt die Bi-Cl-Bindung jedoch intakt und formal werden zwei CO-Gruppen der Ausgangsverbindung 1 durch einen Chalkogenliganden E ersetzt.

^{*} Sonderdruckanforderungen an Dr. K. Merzweiler.

Tab. I. Daten zu den Kristallstrukturanalysen von 2 und 3*.

Verbindung	2	3
Formel	[{Cp(CO) ₂ Mo} ₂ SeBiCl] · THF	[{Cp(CO) ₂ Mo} ₂ SBiCl]·CH ₂ Cl ₂
Raumgruppe	PĪ	PĪ
Meßtemperatur	213 K	200 K
Gitterkonstanten		
a	792,0(4) pm	835,7(5) pm
b	994,5(5) pm	1000,5(5) pm
c	1386,9(6) pm	1343,0(8) pm
lpha	$101,14(4)^{\circ}$	109,68(4)°
β	103,76(4)°	101,43(4)°
γ	93,32(4)°	96,69(4)°
Zellvolumen V	$1,035 \cdot 10^9 \mathrm{pm}^3$	$1,015 \cdot 10^9 \text{pm}^3$
Formeleinheiten Z	2	2
Dichte (ber.)	$2,85 \text{ g/cm}^3$	$2,95 \text{ g/cm}^3$
Strahlung	$MoK\alpha$	$MoK\alpha$
2θ max.	56	52
Zahl der unabh. Reflexe mit $F > 3 \sigma(F)$	4561	4077
Absorptionskoeffizient $\mu(MoK\alpha)$	114,88 cm ⁻¹	99,10 cm ⁻¹
Strukturaufklärung	direkte Methoden	direkte Methoden
Verfeinerung	Mo, Bi, Se, Cl, C, O anisotrop,	Mo, Bi, S, Cl, C, O anisotrop,
	Atome des Solvens THF fehl-	H-Positionen nicht lokalisiert
	geordnet, isotrop. H-Positionen	
	nicht lokalisiert	
Zahl der verfeinerten Parameter	228	235
R -Werte, $R/R_{\rm w}$	0,054/0,051	0,062/0,062
Meßgerät: Siemens AEDII; verwendete Rec	nenprogramme: SHELX [22], SCHAK	AL [23]

* Weitere Einzelheiten zur Kristallstrukturuntersuchung können beim Fachinformationszentrum Karlsruhe GmbH,

Bindungslängen			
Bi 1-Se 1 Bi 1-Mo 2 Mo 1-Se 1 Bi 1-Cl 1 Mo-C(Cp)	271,3(2) 289,6(2) 259,8(2) 283,1(2) 230(1)-240(2)	Bi 1 – Mo 1 Mo 1 – Mo 2 Mo 2 – Se 1 Bi 1 – Cl 1a	296,8(2) 313,7(2) 261,8(2) 326,8(4)
Mo-C(CO) C-O C-C(Cp) Bindungswinkel	196(1)-199(1) 115(2)-116(2) 136(3)-148(2)		
Mo1-Bi1-Mo2 Mo2-Bi1-Se1 Mo1-Bi1-Cl1a Mo2-Bi1-Cl1a Se1-Bi1-Cl1a Bi1-Mo1-Se1 Bi1-Mo2-Mo1 Mo1-Mo2-Se1 Bi1-Se1-Mo2 Bi1-Cl1-Bi1a Mo-C-O C-C-C(Cp)	64,7(1) 55,5(1) 165,7(1) 103,9(1) 112,7(1) 57,9(1) 58,8(1) 52,7(1) 65,8(1) 95,8(1) 171(1)-174(1) 107(1)-109(1)	Mol-Bil-Sel Mol-Bil-Cll Mo2-Bil-Cll Sel-Bil-Cll Bil-Mol-Mo2 Mo2-Mol-Sel Bil-Mo2-Sel Bil-Sel-Mol Mol-Sel-Mo2 Cll-Bil-Clla	54,2(1) 108,6(1) 118,1(1) 162,7(1) 56,6(1) 53,3(1) 58,7(1) 67,9(1) 73,9(1) 84,2(1)

Tab. II. Wichtigste Bindungslängen (pm) und -winkel (°) in 2 (Standardabweichungen in Klammern).

D-W-7514 Eggenstein-Leopoldshafen 2, unter Angabe der Hinterlegungsnummer CSD 56336, der Autoren und des Zeitschriftenzitats angefordert werden.

Bindungslängen			
Bi 1-S 1 Bi 1-Mo 2 Bi 1-Cl 1a Mo 1-S 1 Mo-C(Cp) Mo-C(CO) C-C(Cp)	263,2(4) 285,0(2) 338,3(5) 247,7(4) 229(2)-239(1) 198(2)-201(2) 135(4)-144(3) 113(2)-117(2)	Bi 1 – Mo 1 Bi 1 – Cl 1 Mo 1 – Mo 2 Mo 2 – S 1	297,3(2) 285,5(5) 310,0(3) 249,0(4)
Bindungswinkel			
Mol-Bil-Mo2 Mol-Bil-Sl Mo2-Bil-Cll Mo2-Bil-Sl Bil-Mol-Mo2 Bil-Mo2-Mol Mol-Mo2-Sl Bil-Sl-Mo2 Cll-Bil-Clla Mo-C-O C-C-C(Cp)	64,3(1) 52,0(1) 107,3(1) 53,9(1) 55,9(1) 59,8(1) 51,2(1) 67,5(1) 75,8(1) 171(1)-175(1) 106(2)-111(2)	Mol-Bil-Cll Mol-Bil-Clla Mo2-Bil-Clla Sl-Bil-Cll Bil-Mol-Sl Bil-Mo2-Sl Bil-Sl-Mol Mol-Sl-Mol Mol-Sl-Mol	168,8(1) 112,0(1) 99,7(1) 152,1(1) 56,9(1) 58,6(1) 71,1(1) 77,2(1) 104,2(1)

Tab. III. Wichtigste Bindungslängen (pm) und -winkel ($^{\circ}$) in 3 (Standardabweichungen in Klammern).

Tab. IV. Typische Bi-Chalkogen-Bindungslängen (pm).

Verbindung	Bi-E	Lit.
	268,3-281,7 271,9-300,0 278,2-279,4 270,4 268,4-340,5 277,7-319,7	[16] [17] [18] [19] [20] [21]

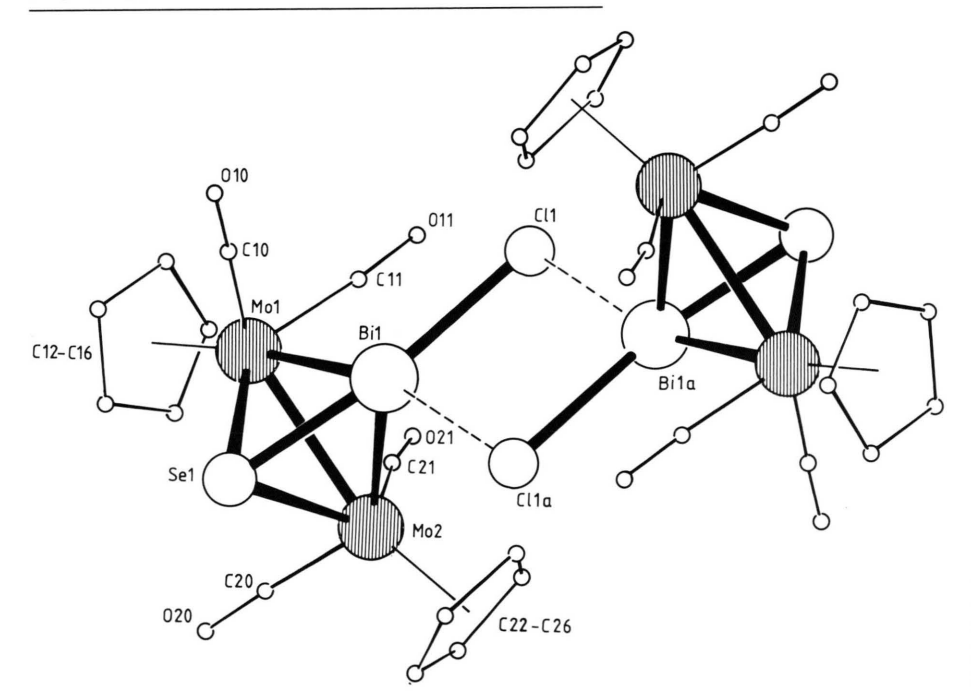


Abb. 1. Molekülstruktur von 2 im Kristall. (Bezifferung der Bi-, Mo-, S- und Cl-Atome in 3 analog).

Tab. V. Lageparameter und äquivalente isotrope Temperaturfaktoren [pm²×10⁴] von [{Cp(CO)₂Mo}₂SeBiCl]·THF (2) (ohne Atome des Lösungsmittels, $U_{eq} = 1/3\sum\limits_{i}\sum\limits_{j}(U_{ij}a_i^*a_j^*a_ia_j)$).

Atom	x/a	y/b	z/c	U_{eq}
Bi 1	0,21020(6)	0,52840(4)	0,41736(3)	0,0324(1)
Mo1	0,3467(1)	0,5025(1)	0,23371(6)	0,0280(2)
Mo2	0,2339(1)	0,7779(1)	0,34053(7)	0,0311(3)
Se 1	0,5129(1)	0,6600(1)	0,40677(8)	0,0340(3)
Cl 1	-0.1187(5)	0,3683(5)	0,3643(3)	0,070(1)
O10	0,408(2)	0,229(1)	0,3115(8)	0,062(4)
O11	-0.041(1)	0,371(1)	0,1379(7)	0,057(3)
O20	0,521(1)	0,929(1)	0,2650(9)	0,063(4)
O21	0,006(1)	0,693(1)	0,1180(7)	0.065(4)
C10	0,387(2)	0,333(1)	0,289(1)	0,043(4)
C11	0,099(2)	0,422(1)	0,1811(8)	0,041(4)
C12	0,321(2)	0,499(2)	0,0623(9)	0,053(4)
C13	0,444(3)	0,612(2)	0,117(1)	0,068(6)
C14	0,596(2)	0,564(2)	0,176(1)	0,074(6)
C15	0,566(2)	0,425(2)	0,160(1)	0,060(5)
C16	0,392(2)	0,381(2)	0,0871(9)	0,048(4)
C20	0,418(2)	0,871(1)	0,292(1)	0,045(4)
C21	0,097(2)	0,713(1)	0,199(1)	0,044(4)
C22	0,113(2)	0,983(1)	0,357(1)	0,050(4)
C23	0,254(2)	0,990(1)	0,447(1)	0,052(4)
C24	0,206(2)	0,891(1)	0,501(1)	0,050(4)
C25	0,037(2)	0,821(1)	0,445(1)	0,059(5)
C26	-0.018(2)	0,878(2)	0,356(1)	0,053(4)

Tab. VI. Lageparameter und äquivalente isotrope Temperaturfaktoren [pm²×10⁴] von [{Cp(CO)₂Mo}₂SBiCl]·CH₂Cl₂ (3) (ohne Atome des Lösungsmittels, $U_{eq} = 1/3\sum\limits_{i}\sum\limits_{j}(U_{ij}a_i^*a_j^*a_ia_j)$).

Atom	x/a	y/b	z/c	U_{eq}
Bi 1	0,21776(7)	0,42461(6)	0,90544(4)	0,0263(1)
Mo1	0,3323(1)	0,2523(1)	0,71464(8)	0,0235(3)
Mo2	0,1859(2)	0,5273(1)	0,7301(1)	0,0249(3)
Cl 1	0,1255(5)	0,6770(4)	0,1155(3)	0,044(1)
S 1	0,4623(4)	0,5081(4)	0,8293(3)	0.030(1)
O11	0,011(2)	0,049(1)	0,708(1)	0.048(4)
O12	0,506(2)	0,155(1)	0.9011(9)	0.048(4)
O13	-0.079(2)	0,260(1)	0,559(1)	0.058(4)
O14	0.359(2)	0.543(2)	0.546(1)	0,067(6)
C1	0,504(2)	0,263(2)	0.597(1)	0.041(5)
C2	0.342(2)	0.215(2)	0.531(1)	0.041(5)
C3	0,276(2)	0.079(2)	0.537(1)	0.040(5)
C4	0,403(2)	0.047(2)	0,608(1)	0.041(5)
C5	0.548(2)	0.162(2)	0.644(1)	0.041(5)
C6	-0.051(3)	0.620(2)	0,746(2)	0.071(9)
C7	0.022(3)	0,674(2)	0.679(1)	0.056(7)
C8	0,172(4)	0.761(2)	0.736(2)	0.07(1)
C9	0,197(4)	0.762(2)	0.849(2)	0,11(1)
C10	0.055(5)	0.674(3)	0.850(2)	0.09(1)
C11	0,125(2)	0,134(1)	0,716(1)	0.031(4)
C12	0,440(2)	0,197(1)	0,836(1)	0.030(4)
C13	0,028(2)	0.350(2)	0,623(1)	0.038(5)
C14	0,301(2)	0.528(2)	0,612(1)	0.039(5)

Die Bi-Cl-Abstände differieren innerhalb des Bi₂Cl₂-Ringes sehr stark und betragen 283,1(5) und 326,8(4) pm im Selenderivat 2. In 3 liegen die entsprechenden Werte bei 285,5(5) und 338,3(5) pm. Offensichtlich bestehen nur schwa-Wechselwirkungen zwischen [{Cp(CO)₂Mo}₂EBiCl]-Molekülen. Eine Assoziation von metallorganisch substituierten Bismut-Chloriden über verbrückende Chloratome wird häufig beobachtet. In bisher untersuchten Struktubeispielsweise Bi₂Cl₂-Vierringe Bi₃Cl₃-Sechsringe $([\{Cp(CO)_2Mn\}_2BiCl])$ [5], $([\{RC_5H_4(CO)_2Fe\}_2BiCl], R = H, Me) [6, 7]$ und unendliche Bi-Cl-Ketten ([{Cp(CO)₃Mo}₂BiCl]) [8] gefunden.

In den Mo₂BiE-Gerüsten von 2 und 3 findet man Bi-E-Abstände von 271,3(2) pm für 2 und 263.2(4) pm im Fall des Schwefelanalogons 3. Diese Werte fallen in einen Bereich, der auch für andere Bismut-Chalkogen-Verbindungen typisch ist, wie ein Vergleich mit den Daten der Tab. IV zeigt. Die Bi-Mo-Abstände betragen in 2 289,6(2)-296,8(2) pm, in 3 289,6(2)-297,3(2) pm. Ähnliche Bi-Mo-Bindungslängen konnten auch in $[{Cp(CO)_3Mo}_2BiCl]$ (292,1(1)-298,3(1) pm) [8], $[{Cp(CO)_2(tBuNC)Mo}_2BiCl]$ (293,1(1)-297,8(1) pm) [9], $[{Cp'(CO)_2Mo}_2Bi_2]$ (284,8(1)-298,5(1) pm) [10] und $[{Cp(CO)_3Mo}_2BiEt]$ (299,4(1)-299,6(1) pm) [11] beobachtet werden. Die Mo-Mo-Abstände ergeben sich in 2 und 3 zu 313,7(2) pm bzw. 310,0(3) pm und sind mit einer Mo-Mo-Einfachbindung konsistent. Eine vergleichbare Mo-Mo-Bindungslänge wird in [{Cp'(CO)₂Mo}₂Bi₂] (316,2(2) pm) gefunden (Cp': CH₃C₅H₄) [10].

Setzt man die Gültigkeit der 18-Elektronenregel voraus, so können 2 und 3 als Komplexe des 4-Elektronendonators E=Bi-Cl aufgefaßt werden, der "side on" an das 32-Valenzelektronenfragment {Cp(CO)₂Mo}₂ gebunden ist.

Isoelektronische Analoga zu E=Bi-Cl sind Thioxaphosphane, deren Koordinationsverhalten beispielsweise in den Komplexen [(CO)₄Mn(η^2,μ^2 -PMeS)Mn(CO)₅] [12], [Cp₂Mo₂(CO)₃(μ -CO)(η^2,μ^2 -PRS)] (R = C₆H₄OCH₃)

[Cp₂Mo₂(CO)₃(μ -CO)(η^2 , μ^2 -PRS)] (R = C₆H₄OCH₃) [13] und [Os(η^2 -PHS)(CO)₂(Ph₃P)₂] [14] untersucht wurde.

In freier Form sind Thioxaphosphane und auch entsprechende O-Analoge, z.B. POCl, hoch reaktive Verbindungen, zu deren Studium spezielle Matrixisolationstechniken erforderlich sind [15].

Experimenteller Teil

Sämtliche Reaktionen wurden unter Argonoder Stickstoff-Schutzgasatmosphäre durchgeführt. Alle Lösungsmittel wurden vor Gebrauch von Wasser- und Sauerstoff-Spuren befreit.

$[\{Cp(CO)_2Mo\}_2SeBiCl]$ 2

Zu einer Lösung von 2,05 g (2,79 mmol) [{Cp(CO)₃Mo}₂BiCl] [8] in 80 ml THF gibt man 315 mg (1,4 mmol) Se(SiMe₃)₂, gelöst in 20 ml THF. Die Reaktionslösung verfärbt sich innerhalb von 10 min von dunkelgrün nach braun, und es fällt ein schwarzer Niederschlag aus. Nach 1 d Reaktionszeit wird vom Unlöslichen (380 mg) abfiltriert und das Lösungsmittel im Vakuum abkondensiert. Anschließend nimmt man den Rückstand in einem Gemisch THF/CH₂Cl₂ (1:1) auf. Bei 243 K erhält man 2 in Form schwarzer Kristalle. Ausbeute: 0,2 g (11%).

C₁₄H₁₀O₄BiClMo₂Se (710,60) Ber. C 23,66 H 1,42,

Gef. C 24,0 H 1,39.

IR-Spektrum (KBr), vCO (cm⁻¹); 1985 (st), 1950 (st), 1920 (st), 1865 (st).

$[\{Cp(CO)_2Mo\}_2SBiCl]$ 3

3,82 g (5,2 mmol) [{Cp(CO)₃Mo}₂BiCl] werden in 100 ml frisch destilliertem THF gelöst und unter Rühren mit 464 mg (2,6 mmol) S(SiMe₃)₂ versetzt. Im Laufe von 24 h färbt sich die ursprünglich grüne Lösung braun. Man filtriert vom Unlöslichen ab, engt das Filtrat auf 20 ml ein und läßt es auf Kieselgur aufziehen. Eine anschließende Chromatographie an Kieselgur mit einem Pentan/Toluol-Gemisch (1:3) als Laufmittel liefert eine tiefrote Lösung. Beim Abkühlen auf 243 K fällt 3 in Form schwarzer Kristalle aus. Ausbeute: 0,4 g (10%).

C₁₄H₁₀O₄BiClMo₂S (757,50) Ber. C 22,20 H 1,33, Gef. C 21,8 H 1,40.

IR-Spektrum (KBr), ν CO (cm⁻¹): 1975 (st), 1950 (st), 1930 (st), 1920 (st), 1890 (st), 1880 (sst), 1830 (m), 1790 (st).

- [1] K. Merzweiler und L. Weisse, Z. Naturforsch. 45b, 971 (1990).
- [2] K. Merzweiler und L. Weisse, Z. Naturforsch. **46b**, 695 (1991).
- [3] H. Horn, F. Rudolph, R. Ahlrichs und K. Merzweiler, Z. Naturforsch. 47b, 1 (1992).
 [4] K. Merzweiler, F. Rudolph und L. Brands, Z. Naturforsch. 47b, 1 (1992).
- [4] K. Merzweiler, F. Rudolph und L. Brands, Z. Naturforsch. 47 b, 470 (1992).
- [5] J. v. Seyerl und G. Huttner, J. Organomet. Chem. 195, 207 (1980).
- [6] J. M. Wallis, G. Müller und H. Schmidbaur, J. Organomet. Chem. 325, 159 (1987).
- [7] W. Clegg, N. A. Compton, R. J. Errington und N. C. Norman, Polyhedron, 6, 2031 (1987).
- [8] W. Clegg, N. A. Compton, R. J. Errington, N. C. Norman, A. J. Tucker und M. J. Winter, J. Chem. Soc. Dalton Trans. 1988, 2941.
- [9] W. Clegg, N. A. Compton, R. J. Errington und N. C. Norman, J. Organomet. Chem. 335, C1 (1987).
- [10] W. Clegg, N. A. Compton, R. J. Errington und N. C. Norman, Polyhedron 7, 2239 (1988).
- [11] W. Clegg, N. A. Compton, R. J. Errington, G. A. Fisher, N. C. Norman und N. Wishart, J. Organomet. Chem. 399, C21 (1990).

- [12] E. Linder, K. Auch, W. Hiller und R. Fawzi, Angew. Chem. 96, 287 (1984).
- [13] H. Alper, F. W. B. Einstein, J.-F. Petrignani und A. C. Wills, Organometallics **2**, 1422 (1983).
- [14] D. S. Bohle, C. E. Rickard, W. R. Roper, Angew. Chem. 100, 308 (1988).
- [15] M. Binnewies, H. Schnöckel, Chem. Rev. 90, 321 (1990).
- [16] A. Müller, M. Zimmermann und H. Bögge, Angew. Chem. 98, 259 (1986).
- [17] M. Wieber, D. Wirth und C. Burschka, Z. Naturforsch. 40b, 258 (1985).
- [18] D. B. Sowerby und I. Haiduc, J. Chem. Soc. Dalton Trans. 1987, 1257.
- [19] F. Calderazzo, A. Morvillo, G. Pellizi, R. Poli und F. Ungari, Inorg. Chem. 27, 3730 (1988).
- [20] K. Volk, G. Cordier, R. Cook und H. Schäfer, Z. Naturforsch. 35b, 136 (1980).
- [21] G. Cordier, H. Schäfer und C. Schwidetzky, Rev. Chim. Mineral. 22, 676 (1985).
- [22] G. M. Sheldrick, SHELX-76, SHELXS-86, Programs for Crystal Structure Determination, Cambridge (1976), Göttingen (1986).
- [23] E. Keller, SCHAKAL, A FORTRAN Program for the Graphical Representation of Molecular and Crystallographic Models, Freiburg (1986).